

МОДЕЛИРОВАНИЕ КОЭФФИЦИЕНТА ТЕПЛОВОГО ИЗЛУЧЕНИЯ ПОЛУБЕСКОНЕЧНОЙ ДИСПЕРСНОЙ СРЕДЫ

Ю.А. Галенко, М.О. Сысоева

Предложена математическая модель дисперсной (мутной) среды, позволяющая рассчитать ее спектральный коэффициент излучения ε в широком диапазоне спектра, включаяющем длины волн λ , соизмеримые с диаметром частиц d . Рассчитан вид зависимости ε для сред, различающихся материалом частиц. Показано, что зависимость ε может иметь экстремумы и несет информацию о материале частиц.

Информация о спектральном коэффициенте излучения дисперсных сред требуется при исследованиях процесса горения, расчете теплообмена продуктов сгорания с окружающими телами, а также при разработке оптических средств и методов диагностики дисперсных сред в различных технологических процессах.

Экспериментальное определение зависимости коэффициента излучения ε от длины волны излучения λ требует значительных трудозатрат, а полученные при этом результаты, как правило, не могут использоваться в случае изменения характеристик дисперсной среды: оптической толщины, материала частиц и их размеров. Поэтому актуальна разработка математических моделей, позволяющих расчетным путем оценить влияние характеристик дисперсной среды на параметры ее излучения.

Задачей исследования являлось создание математической модели полубесконечно-го слоя излучающей, поглощающей и рассеивающей дисперсной среды. Модель предназначалась для исследования влияния характеристик частиц на параметры оптического излучения дисперсной среды. Поэтому излучение газа не рассматривалось. Основой модели является теория Ми [1, 2]. Для определения теплового коэффициента излучения используется решение задачи теплообмена в плоском слое излучающей, поглощающей и рассеивающей среды [3].

Распространение излучения сопровождается его поглощением и рассеянием. Это может существенно влиять на величину коэффициента излучения ε дисперсной среды [4], который определяется выражением [3]:

$$\varepsilon = \frac{4 \cdot \varepsilon_w}{2 \cdot (-\varepsilon_w) \sqrt{3 \cdot \varepsilon_w \cdot R}}, \quad (1)$$

где ε_w – коэффициент излучения поверхности, ограничивающей дисперсную среду;

$R = \sqrt{1 + (-\Gamma_\lambda) \frac{\sigma_\lambda}{\alpha_\lambda}}$; Γ_λ – параметр, определяемый видом индикатрисы рассеяния: $\Gamma_\lambda = \frac{1}{2} \int_0^\pi I_\lambda(\theta) \cos \theta \sin \theta d\theta$; $I_\lambda(\theta)$ – индикатриса рассеяния; θ – угол рассеяния; $\sigma_\lambda = \frac{k_{\lambda\sigma}}{\rho}$ – массовый коэффициент ослабления рассеянием; $\alpha_\lambda = \frac{k_{\lambda\alpha}}{\rho}$ – массовый коэффициент ослабления поглощением; $k_{\lambda\sigma}$ – коэффициент ослабления рассеянием; $k_{\lambda\alpha}$ – коэффициент ослабления поглощением; ρ – плотность дисперсной среды.

В настоящей работе коэффициенты ослабления поглощением $k_{\lambda\alpha}$, рассеянием $k_{\lambda\sigma}$ и индикатриса рассеяния $I_\lambda(\theta)$, входящие в уравнение (1), определяются по теории Ми [1], что позволяет использовать созданную модель для расчетов в широком диапазоне длин волн, включающем величины λ , имеющие один порядок с диаметром частиц d . Согласно Ми, дифрагированное поле представляется в виде суммы отдельных парциальных волн. Интенсивность v -ой парциальной волны определяется значениями амплитуд парциальных электрических a_v и магнитных b_v колебаний, которые в свою очередь определяют полное ослабление потока излучения при прохождении его через частицу:

$$k_\lambda = k_{\lambda\sigma} + k_{\lambda\alpha}.$$

Формулы Ми для коэффициентов полного ослабления, ослабления рассеянием и индикатрисы рассеяния записываются в виде [1]:

$$k_\lambda = \frac{2}{x^2} \sum_{v=1}^{\infty} (v+1) \operatorname{Re} (a_v + b_v); \quad (2)$$

МОДЕЛИРОВАНИЕ КОЭФФИЦИЕНТА ТЕПЛОВОГО ИЗЛУЧЕНИЯ ПОЛУБЕСКОНЕЧНОЙ ДИСПЕРСНОЙ СРЕДЫ

$$k_{\lambda\sigma} = \frac{2}{x^2} \sum_{v=1}^{\infty} (a_v + b_v)^2; \quad (3)$$

$$\begin{aligned} I_{\lambda}(\theta) = & \frac{I_0}{2x^2} \cdot \left[\left| \sum_{v=1}^{\infty} \frac{2v+1}{v+1} Q_v + b_v S_v \right|^2 + \right. \\ & \left. + \left| \sum_{v=1}^{\infty} \frac{2v+1}{v+1} Q_v + a_v S_v \right|^2 \right], \end{aligned} \quad (4)$$

где $x = \frac{\pi d}{\lambda}$ – параметр дифракции; I_0 – интенсивность падающего излучения.

Формулы (2) – (4) используются при выводе величин, описывающих интенсивность рассеянного излучения, и являются основой для расчета спектрального коэффициента излучения дисперской среды.

Угловые функции Q_v и S_v вычисляются с помощью полиномов Лежандра и их производных. Используя рекуррентные формулы для полиномов Лежандра P_v , где $\mu = \cos\theta$, и их производных, получаются рекуррентные формулы для угловых функций [1]:

$$Q_v = \frac{2v-1}{v-1} Q_{v-1} - \frac{v}{v-1} Q_{v-2}; \quad (5)$$

$$\begin{aligned} S_v = & \mu P_v - Q_{v-2} \\ & - (v-1)(-\mu^2) Q_{v-1} + S_{v-2}, \end{aligned} \quad (6)$$

$\mu \leq 1$,

где $Q_v = \frac{dP_v}{d\mu}$,

$$S_v = \mu Q_v - (-\mu^2) \frac{dQ_v}{d\mu},$$

$$P_v = \frac{1}{2^v v!} \frac{d^v}{d\mu^v} (\mu^2 - 1).$$

Коэффициенты Ми a_v и b_v выражаются через функции Риккати-Бесселя производственного порядка и аргумента $\Psi_v(x)$, $\xi_v(x)$ [5]:

$$a_v = \frac{A_v(y)\Psi_v(x) - m\Psi'_v(x)}{A_v(y)\xi_v(x) - m\xi'_v(x)}; \quad (7)$$

$$b_v = \frac{mA_v(y)\Psi_v(x) - \Psi'_v(x)}{mA_v(y)\xi_v(x) - \xi'_v(x)}, \quad (8)$$

где $y = m \cdot x$; m – комплексный показатель преломления материала частицы; $\Psi_v(x)$, $\xi_v(x)$ вычисляются с помощью цилиндрических функций (функций Бесселя первого рода) порядка $v+1/2$ [2]:

$$\Psi_v(x) = \sqrt{\frac{\pi x}{2}} J_{v+1/2}.$$

$$\begin{aligned} \xi_v(x) = & \sqrt{\frac{\pi x}{2}} \left[J_{v+1/2} + i J_{-v-1/2} \right] \\ A_v(y) = & \frac{\Psi'_v(y)}{\Psi_v(y)}. \end{aligned}$$

Производные функций Риккати-Бесселя рассчитываются по рекуррентным формулам для вычисления производных цилиндрических функций произвольного порядка и аргумента [5]:

$$\begin{aligned} \Psi'_v(x) = & \frac{d}{dx} \left[\sqrt{\frac{\pi x}{2}} J_{v+1/2} \right] = \\ = & \sqrt{\frac{\pi x}{2}} \left[J_{v-1/2} - \frac{v}{x} J_{v+1/2} \right]; \\ \xi'_v(x) = & \frac{d}{dx} \left[J_{v+1/2} + i J_{-v-1/2} \right] = \\ = & \sqrt{\frac{\pi x}{2}} \left[J_{v-1/2} - \frac{v}{x} J_{v+1/2} \right. \\ & \left. - i J_{-v+1/2} + \frac{v}{x} J_{-v-1/2} \right]. \end{aligned}$$

Очевидно, что коэффициенты Ми a_v и b_v зависят только от значений комплексного показателя преломления m и параметра дифракции x . Если показатель преломления – комплексная величина, то цилиндрические функции зависят от комплексного аргумента.

Выражения $\Psi_v(x)$, $\xi_v(x)$ через функции Бесселя и рекуррентные формулы производных для цилиндрических функций подставляются в (7) и (8), тогда формулы для коэффициентов Ми приобретают следующий вид:

$$\begin{aligned} a_v(m, x) = & \left[\left(\frac{A_v}{m} + \frac{v}{x} \right) J_{v+1/2} + J_{v-1/2} \right] \times \\ \times & \left[\left(\frac{A_v}{m} + \frac{v}{x} \right) \left[J_{v+1/2} + i J_{-v-1/2} \right] \right] (9) \end{aligned}$$

$$- \left[J_{v-1/2} + i J_{-v+1/2} \right];$$

$$\begin{aligned} b_v(m, x) = & \left[\left(mA_v + \frac{v}{x} \right) J_{v+1/2} + J_{v-1/2} \right] \times \\ \times & \left[\left(mA_v + \frac{v}{x} \right) \left[J_{v+1/2} + i J_{-v-1/2} \right] \right] (10) \end{aligned}$$

$$- \left[J_{v-1/2} + i J_{-v+1/2} \right].$$

Для удобства представления формул (9), (10) на ЭВМ используются следующие выражения для коэффициентов [5]:

$$a_v = \frac{\left[\frac{A_v}{m} + \frac{v}{x} \right] \operatorname{Re} w_v + \operatorname{Im} w_v}{\left[\frac{A_v}{m} + \frac{v}{x} \right] w_v - \operatorname{Im} w_v};$$

$$b_v = \frac{\left[m A_v + \frac{v}{x} \right] \operatorname{Re} w_v + \operatorname{Im} w_v}{\left[m A_v + \frac{v}{x} \right] w_v - \operatorname{Im} w_v},$$

где A_v , w_v – функции, вычисляемые по рекуррентным формулам:

$$A_v = -\frac{v}{y} + \frac{1}{\frac{v}{y} - A_{v-1}}, \quad v=1, 2, \dots;$$

$$w_v(x) = \frac{2v-1}{x} \cdot w_{v-1}(x) - w_{v-2}(x).$$

Начальные значения этих функций рассчитываются следующим образом:

$$A_0 = \frac{J_{-1/2}(y)}{J_{1/2}(y)} = \frac{\cos y}{\sin y} = \frac{\cos p + iq}{\sin p + iq} =$$

$$= \frac{\sin p \cos p - i \operatorname{sh} q \operatorname{ch} q}{\sin^2 p + \operatorname{sh}^2 q},$$

где $y = m \cdot x = p + iq$; $p = nx$; $q = -\chi x$; n – показатель преломления материала частицы; χ – показатель поглощения материала частицы.

$$w_0(x) = \sqrt{\frac{\pi x}{2}} [J_{1/2}(x) + i \cdot J_{-1/2}(x)] \equiv \sin x + i \cos x;$$

$$w_{-1}(x) = \sqrt{\frac{\pi x}{2}} [J_{-1/2}(x) - i \cdot J_{1/2}(x)] \equiv \cos x - i \sin x,$$

где значения $J_{1/2}(x)$, $J_{-1/2}(x)$ вычисляются по формуле [5]:

$$J_{v-1/2} = \sqrt{\frac{2}{\pi x}} \cdot x^v \cdot \left(-\frac{1}{x} \cdot \frac{d}{dx} \right)^v \cos x.$$

Для вычисления коэффициентов расчетные формулы (2), (3) и (4) преобразуются к следующему виду:

$$k_\lambda = \frac{2}{x^2} \sum_{v=1}^{\infty} (v+1) \operatorname{Re} w_v + b_v; \quad (11)$$

$$= \frac{2}{x^2} \sum_{v=1}^{\infty} (v+1) (\operatorname{Re} a_v + \operatorname{Re} b_v);$$

$$k_{\lambda\sigma} = \frac{2}{x^2} \sum_{v=1}^{\infty} (v+1) \left(|a_v|^2 + |b_v|^2 \right) =$$

$$= \frac{2}{x^2} \sum_{v=1}^{\infty} (v+1) (\operatorname{Re} a_v^2 + \operatorname{Im} a_v^2 + \operatorname{Re} b_v^2 + \operatorname{Im} b_v^2); \quad (12)$$

$$I = I_1 + I_2,$$

$$I_1 = \frac{I_0}{2x^2} \cdot \left| \sum_{v=1}^{\infty} \frac{2v+1}{v+1} (\operatorname{Re} a_v Q_v + \operatorname{Re} b_v S_v) \right| + i (\operatorname{Im} a_v Q_v + \operatorname{Im} b_v S_v); \quad (13)$$

$$I_2 = \frac{I_0}{2x^2} \cdot \left| \sum_{v=1}^{\infty} \frac{2v+1}{v+1} (\operatorname{Re} b_v Q_v + \operatorname{Re} a_v S_v) \right| + i (\operatorname{Im} b_v Q_v + \operatorname{Im} a_v S_v).$$

Как видно из формул (11) – (13), существенной частью задачи об определении коэффициентов ослабления и индикатрисы расеяния является выделение действительных и мнимых частей комплексных величин a_v и b_v .

Первоначально выделяются действительные и мнимые части для всех величин исходных данных (14) – (19):

$$y = \operatorname{Re} y - i \operatorname{Im} y,$$

где

$$\begin{cases} \operatorname{Re} y = x \cdot \operatorname{Re} m = x \cdot n, \\ \operatorname{Im} y = x \cdot \operatorname{Im} m = x \cdot \chi, \end{cases} \quad (14)$$

так как $m = n - i\chi$.

$$\begin{cases} \operatorname{Re} w_{-1}(x) \equiv \cos x, \\ \operatorname{Im} w_{-1}(x) \equiv -\sin x; \end{cases} \quad (15)$$

$$\begin{cases} \operatorname{Re} w_0(x) \equiv \sin x, \\ \operatorname{Im} w_0(x) \equiv \cos x. \end{cases} \quad (16)$$

Из выражения

$$A_0 = \frac{\sin p \cos p - i \operatorname{sh} q \operatorname{ch} q}{\sin^2 p + \operatorname{sh}^2 q}, \quad \text{учитывая, что}$$

$$\operatorname{sh} x = \frac{e^x - e^{-x}}{2}, \quad \operatorname{ch} x = \frac{e^x + e^{-x}}{2}, \quad \text{получается:}$$

$$A_0 = \frac{\sin p \cos p - i \operatorname{sh} q \operatorname{ch} q}{\sin^2 p + \operatorname{sh}^2 q} =$$

$$= \frac{\sin p \cos p - i \frac{e^q - e^{-q}}{2} \cdot \frac{e^q + e^{-q}}{2}}{\sin^2 p + \frac{(e^q - e^{-q})^2}{4}} =$$

$$= \frac{\sin p \cos p - i \frac{e^{2q} - e^{-2q}}{4}}{\sin^2 p + \frac{(e^q - e^{-q})^2}{4}} =$$

$$= \frac{4 \sin p \cos p - i \frac{(e^{2q} - e^{-2q})^2}{4}}{4 \sin^2 p + \frac{(e^q - e^{-q})^2}{4}} =$$

МОДЕЛИРОВАНИЕ КОЭФФИЦИЕНТА ТЕПЛОВОГО ИЗЛУЧЕНИЯ ПОЛУБЕСКОНЕЧНОЙ ДИСПЕРСНОЙ СРЕДЫ

$$\begin{aligned}
 &= \frac{4 \sin p \cos p - i \left(\frac{2q}{e^{2q}} - e^{-2q} \right)}{4 \sin^2 p + e^{2q} - 2 \cdot e^q \cdot e^{-q} + e^{-2q}} = \\
 &= \frac{4 \sin p \cos p - i \left(\frac{2q}{e^{2q}} - e^{-2q} \right)}{4 \sin^2 p + e^{2q} - 2 + e^{-2q}} = \\
 &= \frac{4 \sin p \cos p + i \left(\frac{-2q}{e^{2q}} - e^{2q} \right)}{4 \sin^2 p + e^{2q} + e^{-2q} - 2}.
 \end{aligned}$$

Следовательно,

$$\begin{cases} \operatorname{Re} A_v = \frac{4 \sin p \cos p}{4 \sin^2 p + e^{2q} + e^{-2q} - 2}, \\ \operatorname{Im} A_v = \frac{e^{-2q} - e^{2q}}{4 \sin^2 p + e^{2q} + e^{-2q} - 2}. \end{cases} \quad (17)$$

При использовании соотношений (5), (6), начальные значения угловых функций получаются следующими:

$$Q_0 = 0, Q_1 = 1, Q_2 = 3 \cos \theta; \quad (18)$$

$$S_0 = 0, S_1 = \cos \theta, S_2 = 3 \cos 2\theta. \quad (19)$$

Далее определяются действительные и мнимые части для рекуррентных формул функций A_v и w_v (20), (21).

$$\begin{cases} \operatorname{Re} A_v = \operatorname{Re} A + [\operatorname{Re} A - \operatorname{Re} A_{v-1}] \\ \times [\operatorname{Re} A - \operatorname{Re} A_{v-1}] + \\ + [\operatorname{Im} A - \operatorname{Im} A_{v-1}]^{-1}, \\ \operatorname{Im} A_v = -\operatorname{Im} A + [\operatorname{Im} A + \operatorname{Im} A_{v-1}] \\ \times [\operatorname{Re} A - \operatorname{Re} A_{v-1}] + \\ + [\operatorname{Im} A - \operatorname{Im} A_{v-1}]^{-1}, \end{cases} \quad (20)$$

где

$$\begin{cases} \operatorname{Re} A = \frac{\nu * \operatorname{Re} y}{\operatorname{Re} y^2 + \operatorname{Im} y^2}; \quad \operatorname{Im} A = \frac{\nu * \operatorname{Im} y}{\operatorname{Re} y^2 + \operatorname{Im} y^2}. \\ \operatorname{Re} w_v(x) = \frac{2\nu - 1}{x} \operatorname{Re} w_{v-1}(x); \quad \operatorname{Re} w_{v-2}(x) \\ \operatorname{Im} w_v(x) = \frac{2\nu - 1}{x} \operatorname{Im} w_{v-1}(x); \quad \operatorname{Im} w_{v-2}(x). \end{cases} \quad (21)$$

Для коэффициентов Ми выполняются аналогичные действия (22), (23):

$$\begin{cases} \operatorname{Re} a_v = \frac{\operatorname{Re} C \cdot \operatorname{Re} D + \operatorname{Im} C \cdot \operatorname{Im} D}{\operatorname{Re} D^2 + \operatorname{Im} D^2}, \\ \operatorname{Im} a_v = \frac{\operatorname{Re} D \cdot \operatorname{Im} C - \operatorname{Re} C \cdot \operatorname{Im} D}{\operatorname{Re} D^2 + \operatorname{Im} D^2}, \end{cases} \quad (22)$$

где

$$\begin{aligned} \operatorname{Re} C &= \operatorname{Re} B \cdot \operatorname{Re} w_v(x) \operatorname{Re} w_{v-1}(x), \\ \operatorname{Im} C &= \operatorname{Im} B \cdot \operatorname{Re} w_v(x), \\ \operatorname{Re} D &= \operatorname{Re} B \cdot \operatorname{Re} w_v(x) \\ &- \operatorname{Im} B \cdot \operatorname{Im} w_v(x) \operatorname{Re} w_{v-1}(x), \\ \operatorname{Im} D &= \operatorname{Re} w_v(x) \operatorname{Im} B + \\ &+ \operatorname{Re} B \cdot \operatorname{Im} w_v(x) \operatorname{Im} w_{v-1}(x). \end{aligned}$$

$$\begin{aligned} \operatorname{Re} B &= \frac{\operatorname{Re} A_v \operatorname{Re} m - \operatorname{Im} A_v \operatorname{Im} m}{\operatorname{Re} m^2 + \operatorname{Im} m^2} + \frac{\nu}{x}, \\ \operatorname{Im} B &= \frac{\operatorname{Re} m \cdot \operatorname{Im} A_v \operatorname{Re} A_v \operatorname{Im} m}{\operatorname{Re} m^2 + \operatorname{Im} m^2}, \\ \begin{cases} \operatorname{Re} b_v = \frac{\operatorname{Re} F \cdot \operatorname{Re} G + \operatorname{Im} F \cdot \operatorname{Im} G}{\operatorname{Re} G^2 + \operatorname{Im} G^2}, \\ \operatorname{Im} b_v = \frac{-\operatorname{Re} F \cdot \operatorname{Im} G + \operatorname{Im} F \cdot \operatorname{Re} G}{\operatorname{Re} G^2 + \operatorname{Im} G^2}, \end{cases} \end{aligned} \quad (23)$$

где

$$\operatorname{Re} F = \operatorname{Re} E \cdot \operatorname{Re} w_v(x) \operatorname{Re} w_{v-1}(x),$$

$$\operatorname{Im} F = \operatorname{Im} E \cdot \operatorname{Re} w_v(x),$$

$$\operatorname{Re} G = \operatorname{Re} E \cdot \operatorname{Re} w_v(x)$$

$$- \operatorname{Im} E \cdot \operatorname{Im} w_v(x) \operatorname{Re} w_{v-1}(x),$$

$$\operatorname{Im} G = \operatorname{Re} E \cdot \operatorname{Im} w_v(x)$$

$$+ \operatorname{Im} E \cdot \operatorname{Re} w_v(x) \operatorname{Im} w_{v-1}(x),$$

$$\operatorname{Re} E = \operatorname{Re} m \cdot \operatorname{Re} A_v \operatorname{Im} m \cdot \operatorname{Im} A_v \operatorname{Im} \frac{\nu}{x},$$

$$\operatorname{Im} E = \operatorname{Re} m \cdot \operatorname{Im} A_v \operatorname{Im} m \cdot \operatorname{Re} A_v \operatorname{Im} \frac{\nu}{x}$$

Согласно [6], индикатриса рассеяния, присутствующая в уравнении переноса, должна быть нормализована:

$$\frac{1}{4\pi} \int_0^{4\pi} I_\lambda d\omega = 1.$$

Нормализация производится следующим образом:

$$\sum_{i=0}^{4\pi} \frac{I_\lambda}{4\pi} = 1.$$

Математическая модель (1), (5), (6), (11)-(23) реализована в виде программы в среде программирования Borland Delphi 7.

Первоначально задаются исходные данные: размер и оптические характеристики материала частицы, диапазон изменения длины волны излучения, количество узлов разбиения интервала длин волн, коэффициент излучения поверхности, ограничивающей дисперсную среду, температура дисперсной среды и концентрация частиц в дисперсной среде.

В подпрограмме Ryad рассчитываются значения коэффициентов ослабления излучения k_λ , $k_{\lambda\alpha}$, $k_{\lambda\sigma}$ и интенсивности рассеянного излучения I_λ для заданной последовательности длин волн (значений параметра дифракции), угла рассеяния и заданного количества членов ряда. Расчет коэффициентов Ми и индикатрисы рассеяния выполняется по схеме прямой рекурсии. Предел суммирования в (11) – (13) устанавливается равным максимальному значению параметра

дифракции, поскольку большее количество членов ряда не приводит к заметному изменению результата.

В подпрограмме Ind величины I_{λ} нормализуются, и вычисляется значение параметра Γ_{λ} при длине волны излучения λ :

$$\Gamma_{\lambda} = \frac{1}{2} \sum_{i=0}^{\pi} \frac{I_{\lambda}(i)}{\sum_0^{\pi} I_{\lambda}(i)} \sin i \cos i di,$$

где $I_{\lambda}(i)$ – интенсивность рассеянного излучения при i -м угле рассеяния и длине волны излучения λ .

Головная программа выполняет построение зависимости коэффициента излучения дисперской среды от длины волны излучения.

С использованием разработанной программы выполнены расчеты спектрального коэффициента излучения для веществ с известными оптическими характеристиками: углерода, воды, окиси алюминия. Использовались следующие исходные данные:

- диаметр частицы $d = 6$ мкм;
- показатель преломления материала частицы: $n_1 = 2$ (углерод), $n_2 = 1,3299$ (вода), $n_3 = 1,74$ (окись алюминия);
- показатель поглощения материала частицы: $\chi_1 = 0,67$ (углерод), $\chi_2 = 0,01$ (вода), $\chi_3 = 0,02557$ (окись алюминия);
- диапазон изменения длины волны $0,2 \div 30$ мкм;
- количество точек по длине волны 2000;
- коэффициент излучения поверхности, ограничивающей дисперскую среду, 1.

На рис. представлены полученные зависимости ε . Для сравнения приведен спектральный коэффициент излучения материала частиц Al_2O_3 при $T = 1273$ К (кривая 4) [7].

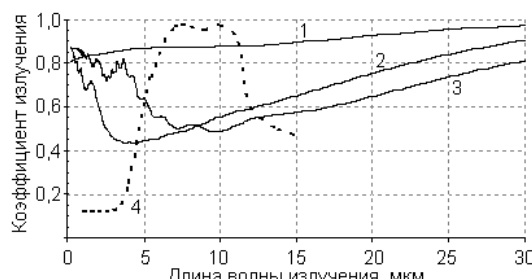


Рис. Зависимость коэффициента излучения от длины волны для среды, содержащей частицы углерода (1), капли воды (2), частицы окиси алюминия при реальной индикаторице рассеяния (3)

Полученные зависимости ε иллюстрируют следующие закономерности:

- величина спектрального коэффициента излучения дисперской среды и вид графика ε в значительной мере определяются материалом частиц;
- коротковолновая область зависимости ε может содержать ярко выраженные экстремумы, объясняемые, по-видимому, дифракцией теплового излучения на частицах;
- в области длинных волн коэффициент излучения перестает зависеть от материала частицы и стремится к определенному асимптотическому значению.

Таким образом, предложена и реализована в виде программы математическая модель, позволяющая определять вид зависимости спектрального коэффициента излучения дисперской среды от длины волны. Модель позволяет учесть оптические характеристики материала частиц, их диаметр и индикаторицу рассеяния. Выполнены расчеты ε для веществ с существенно различающимися оптическими характеристиками, подтверждающие работоспособность модели. Показано, что зависимость коэффициента излучения дисперской среды от длины волны может иметь экстремумы и несет информацию о материале частиц.

ЛИТЕРАТУРА

1. Чандрасекар С. Перенос лучистой энергии. – М.: ИЛ, 1953.
2. Шифрин К.С. Рассеяние света в мутной среде. – М.: Гостехиздат, 1951.
3. Поляков В.И., Румынский А.Н. Лучистый теплообмен в плоскопараллельном слое излучающего, поглощающего и рассеивающего газа при произвольной индикаторице рассеяния. Изв. АН СССР. МЖГ. – 1968. – № 3. – С. 166-169.
4. Галенко Ю.А., Сысоева М.О. Некоторые вопросы пирометрии дисперсных сред и моделирования их излучения. Ползуновский вестник. – 2006. – № 2-2. – С. 39-40.
5. Воронцов А.А., Мировицкая С.Д. Специальные функции задач теории рассеяния: Справочник. – М.: Радио и связь, 1991.
6. Бай Ши-И. Динамика излучающего газа. – М.: Издательство «Мир», 1968.
7. Шейндин А.Е. Излучательные свойства твердых материалов. Справочник. – М.: Энергия, 1974.